

هماهنگی رله‌های دیستانس و اضافه جریان جهت‌دار با تزریق بهینه ظرفیت DG با استفاده از روش هوشمند

محمد رضا امینیان^۱، مهدی جعفری شهباززاده^{۲*}، مهدیه اسلامی^۳

^۱ گروه مهندسی برق قدرت، واحد کرمان، دانشگاه آزاد اسلامی، کرمان، ایران، mraminian869@gmail.com

^{۲*} گروه مهندسی برق قدرت، واحد کرمان، دانشگاه آزاد اسلامی، کرمان، ایران، m-j-shabazi@yahoo.com

^۳ گروه مهندسی برق قدرت، واحد کرمان، دانشگاه آزاد اسلامی، کرمان، ایران، mahdiyeh_eslami@yahoo.com

تاریخ پذیرش: ۱۴۰۰/۹/۵

تاریخ دریافت: ۱۴۰۰/۶/۱۳

چکیده: از جمله پرکاربردترین رله‌های حفاظت از سیستم‌های قدرت، رله‌های دیستانس و اضافه جریان می‌باشند. در شبکه‌های انتقال و فوق توزیع معمولاً حفاظت اصلی بر عهده حفاظت دیستانس است و از حفاظت اضافه جریان به عنوان پشتیبان برای حفاظت دیستانس استفاده می‌شود. در این پژوهش روش جدیدی برای هماهنگی رله‌های دیستانس و اضافه جریان با استفاده از جریان پیکاپ، ضریب تنظیم زمان و مشخصه‌های مختلف رله‌های اضافه جریان جهت تنظیم بخش تاخیری این رله‌ها به عنوان پشتیبان رله‌های دیستانس ارائه می‌شود. استفاده از رله‌های اضافه جریان جهت دار با تغییر در قیود هماهنگی، امکان تنظیم زمان عملکرد ناحیه دوم رله‌های دیستانس با مقدار ثابت و معمولی را فراهم می‌کند. مسئله هماهنگی در روش پیشنهادی با الگوریتم GA حل شده است. در ادامه پژوهش یک شاخص هماهنگی حفاظتی برای ارزیابی تاثیر منابع تولید پراکنده روی هماهنگی حفاظتی رله‌های دیستانس و اضافه جریان ارائه می‌شود. با توجه به اینکه این شاخص با نسبت تغییرات ماکزیم ظرفیت تزریقی در یک شین به تغییرات فاصله زمانی هماهنگی رله‌ها تعریف می‌شود، روش جدیدی برای بدست آوردن ماکزیم ظرفیت تزریقی تحت قیود هماهنگی با استفاده از عملکرد موازی دو نرم‌افزار MATLAB و DIGSILENT ارائه می‌شود روش‌های پیشنهادی در شبکه‌های نمونه ۹ و ۳۹ شینه IEEE پیاده‌سازی شده و نتایج مورد مقایسه و ارزیابی قرار گرفته است.

واژه‌های کلیدی: هماهنگی حفاظتی، رله اضافه جریان جهت دار، منابع تولید پراکنده، شاخص هماهنگی حفاظت.

۱- مقدمه

نزدیک به مراکز بار نصب می‌شوند. این در حالی است که پست‌های فوق توزیع نیز می‌توانند مکان مناسبی برای احداث این تولیدات باشند. این پست‌ها به عنوان نقاط اتصال شبکه‌های توزیع به سیستم انتقال و تزریق توان به فیدهای فشار متوسط، دارای پتانسیل‌های قابل توجهی برای حضور واحدهای تولید پراکنده هستند. احداث و بهره‌برداری از DG در یک پست فوق توزیع می‌تواند روی بارگذاری ترانسفورماتور پست و توان دریافتی از سیستم انتقال تاثیر گذاشته و منابع اقتصادی قابل توجهی را برای شرکت‌های برق به

توسعه و پیشرفت‌هایی در تکنولوژی تولید پراکنده، افزایش حساسیت‌ها نسبت به مسائل زیست محیطی، محدودیت در احداث خطوط انتقال جدید، افزایش تقاضای مصرف مشترکین جهت قابلیت اطمینان بیشتر و تغییر و تحولات اقتصادی در بازار برق باعث توجه روزافزون به استفاده از تولید پراکنده شده است [۱]. استفاده از منابع تولید پراکنده یکی از راهکارهای مناسب جهت پاسخگویی به روند رو به رشد تقاضای انرژی در جهان است. عمدتاً منابع تولید پراکنده در شبکه‌های توزیع و

انتهایی شبکه و رعایت کردن فاصله زمانی هماهنگی به راحتی امکان پذیر است. اما در شبکه‌های با توپولوژی‌های پیچیده، هماهنگی رله‌های اضافه جریان به یک مسئله بسیار پیچیده تبدیل می‌گردد. دو تنظیم کلی برای هماهنگی رله‌های اضافه جریان در نظر گرفته می‌شود که یکی تنظیم جریانی و دیگری تنظیم زمانی است. در خطوط انتقال و فوق توزیع سیستم قدرت، ترکیب رله‌های دیستانس و اضافه جریان برای حفاظت شبکه به کار می‌روند. ترکیب رله‌های اضافه جریان و دیستانس موجب امنیت بیشتر شبکه می‌شود. معمولاً حفاظت اصلی در این شبکه‌ها بر عهده رله دیستانس و حفاظت پشتیبان بر عهده رله اضافه جریان است. پس از اینکه در قسمت‌های قبل نحوه هماهنگی رله‌های اضافه جریان و هماهنگی رله‌های دیستانس توضیح داده شد، هماهنگی ترکیب رله‌های دیستانس و اضافه جریان مورد بررسی قرار خواهد گرفت. به منظور عملکرد صحیح رله‌ها به گونه‌ای که قسمت‌های معیوب را قطع کنند، هماهنگی بین رله‌های اضافه جریان و دیستانس امری مهم و ضروری است. حالت‌های مختلفی برای استقرار رله‌های اضافه جریان و دیستانس به عنوان رله اصلی و رله پشتیبان وجود دارد که در ادامه این حالات شرح داده می‌شوند [۶].

بیشتر تحقیقات انجام شده در زمینه هماهنگی رله‌های اضافه جریان به روش هماهنگی بهینه بر پایه بهینه‌سازی فوق استوار هستند. مراجع با تغییر در بخش‌های مختلف مساله هماهنگی و همچنین استفاده از روش‌های مختلف بهینه‌سازی نتایج مختلفی برای تنظیمات رله‌ها با در نظر گرفتن محدودیت‌های هماهنگی بدست آورده‌اند. با توجه به اینکه مراجع، هماهنگی رله‌های اضافه جریان با همدیگر را در مساله هماهنگی رله‌های دیستانس و اضافه جریان با ادغام در حالت‌های دیگر هماهنگی بین رله‌های دیستانس و اضافه جریان در قالب یک مساله بهینه‌سازی انجام داده‌اند و همچنین به دلیل اینکه تحقیقات انجام شده در حوزه هماهنگی رله‌های اضافه جریان به صورت مجزا، بسیار وسیع است؛ از بررسی مراجعی که فقط به هماهنگی رله‌های اضافه جریان پرداخته‌اند، صرف نظر می‌شود. در مرجع [۷] پنج روش جبران‌سازی برای کاهش اثر مقاومت خطا هنگام محاسبه امپدانس توسط رله معرفی شده است. نکته جالب در مورد مقاومت خطا این است که شرایط بهره‌برداری و ساختار شبکه تنها در صورتی در امپدانس دیده شده توسط رله در ناحیه اول، تاثیر خواهند گذاشت که مقاومت خطا وجود داشته باشد.

تاکنون روش‌های مختلفی برای هماهنگی رله‌های دیستانس و رله‌های اضافه جریان جهتی (D&DOCR) ارائه شده است [۸]. در [۹]، هماهنگی رله‌های دیستانس و اضافه جریان با در نظر گرفتن ساختارهای مختلف شبکه ناشی از خروج خطوط و منابع انجام شده است. وارد شدن ساختارهای مختلف شبکه در مساله هماهنگی رله‌های دیستانس و اضافه جریان، تعداد قیود مساله را به شدت افزایش می‌دهد. در این مرجع روش‌های مختلفی برای کاهش این قیود ارائه شده است. در [۱۰]، فرمول بندی جدیدی برای هماهنگی رله‌های

دنبال داشته باشد و ضمن اینکه حضور اپراتور و وجود سیستم‌های کنترل و مانیتورینگ اطلاعات (SCADA) در پست‌های فوق توزیع می‌تواند در بهره‌برداری مناسب از واحدهای تولیدی مفید باشد، این امر می‌تواند در بکارگیری اقتصادی واحدهای تولید پراکنده نیز تاثیر بسزایی داشته باشد [۲].

در [۳] یک شاخص هماهنگی حفاظتی برای تعیین تاثیر DG (بر پایه ژنراتور سنکرون) روی حفاظت یک شبکه توزیع بهم پیوسته پیشنهاد شده است. در این مرجع دو مرحله مساله بهینه‌سازی غیرخطی برای محاسبه PCI و اعمال آن روی شبکه‌های نمونه ۱۴ شینه IEEE و ۳۰ شینه IEEE پیشنهاد شده است. PCI با محاسبه بهینه نسبت تغییرات سطح تزریق DG به تغییرات CTI بدست می‌آید. نتایج این مرجع نشان می‌دهد PCI پیشنهادی می‌تواند به عنوان یک مقیاس موثر برای اپراتورهای شبکه برای تعیین بهترین مکان برای تخصیص یک DG به مالکیت شبکه با کمترین تاثیر روی هماهنگی حفاظتی به کار رود. گذشته از این، PCI به تعیین وسعت سیستم حفاظتی که با نصب DG با مالکیت مصرف‌کننده تحت تاثیر قرار می‌گیرند و همچنین مشخص کردن همه ملزومات، برای اصلاح تنظیمات رله‌ها با وارد شدن DG به شبکه کمک می‌کند. همچنین حفاظت اضافه جریان به طور گسترده در شبکه‌های توزیع و فوق توزیع به عنوان حفاظت اصلی و در شبکه‌های انتقال به عنوان حفاظت پشتیبان کاربرد دارند. رله‌های اضافه جریان از جمله تجهیزات مربوط به جریان زیاد هستند که به طور وسیعی برای حفاظت سیستم‌ها مورد استفاده قرار می‌گیرند. عملکرد این رله‌ها بر اساس مقایسه جریان عبوری از رله و جریان زیاد معمولی استفاده می‌شود ولی در شبکه‌های از چند سو تغذیه که جهت جریان مهم است از رله‌های اضافه جریان جهت‌دار استفاده می‌شود. برای عدم تداخل در عملکرد رله‌های اضافه جریان اصلی و پشتیبان هنگام وقوع خطا، یک فاصله زمانی لازم بایستی بین عملکرد رله‌های اصلی و پشتیبان وجود داشته باشد و زمان عملکرد رله بایستی به گونه‌ای باشد که اولاً این زمان آن قدر بزرگ باشد که به هنگام وقوع خطا، نزدیک‌ترین کلید به محل خطا ابتدا قطع نماید و از طرفی آنقدر بزرگ نباشد که در صورت عدم عملکرد حفاظت اصلی حتی با قطع رله پشتیبان، سیستم آسیب جدی ببیند [۴]. با توجه به نکته گفته شده، لزوم هماهنگی دقیق این رله‌ها مطرح می‌شود. برای هماهنگ کردن رله‌های اضافه جریان یک شبکه توسط کامپیوتر، لازم است منحنی مشخصه تمام رله‌های اضافه جریان در داخل برنامه مدل شده باشد [۵]. تاکنون روش‌های مختلفی برای این منظور ارائه گردیده است. مسئله هماهنگی رله‌های اضافه جریان عبارتست از تعیین تنظیمات جریان و تنظیم زمان بخش تاخیری رله اضافه جریان به نحوی که اولاً هیچگونه تداخلی در عملکرد رله‌های اصلی و پشتیبان رخ ندهد و همچنین هیچ رله‌ای غیر از رله اصلی و پشتیبان عملکرد نداشته باشد و ثانیاً محل خطا در کوتاه‌ترین زمان ممکن از شبکه اصلی جدا گردد. در شبکه‌های شعاعی حل این مسئله با شروع تنظیم رله‌ها از نقاط

۳- تعریف مساله بهینه‌سازی برای هماهنگی رله‌های دیستانس و اضافه جریان

در روش پیشنهادی تنظیم زمانی TSM رله‌های اضافه جریان همانند مرجع [۱۳] به عنوان متغیر پیوسته بین ۰/۵ تا ۲ تعیین می‌شود. بنابراین متغیرهای مسئله هماهنگی بهینه مشخصه TSM، و جریان پیکاپ رله‌های اضافه جریان خواهد بود. در روش پیشنهادی از نرم‌افزار DIGSILENT که نرم‌افزار قدرتمندی برای تحلیل سیستم‌های قدرت است برای محاسبه جریان اتصال کوتاه عبوری از جفت رله‌ها استفاده شده است. با توجه به نقاط بحرانی قیود مساله هماهنگی در روش پیشنهادی به صورت زیر تعریف می‌شود:

$$t_b(F_1) - 0.02 \geq CTI \quad (۱)$$

$$t_b(F_2) - t_m(F_2) \geq CTI \quad (۲)$$

$$t_b(F_3) - t_m(F_3) \geq CTI \quad (۳)$$

$$t_b(F_4) - 0.3 \geq CTI' \quad (۴)$$

در روابط فوق $t_b(F_i)$ و $t_m(F_i)$ زمان عملکرد رله اضافه جریان اصلی و پشتیبان به ازای خطا در نقطه بحرانی F_i ($i = 1, 2, 3, 4$) می‌باشد. همچنین در رابطه (۱) عدد ۰/۰۲ مربوط به زمان عملکرد واحد عملکرد آنی اضافه جریان اصلی و در رابطه (۴) عدد ۰/۳ نشان دهنده زمان عملکرد ناحیه دوم رله دیستانس اصلی می‌باشد. مقادیر CTI و CTI' به صورت مساوی و برابر ۰/۳ فرض شده است.

در روابط فوق سه رابطه اول قیود هماهنگی بین رله‌های اضافه جریان - اضافه جریان و رابطه (۴) قید هماهنگی بین رله دیستانس اصلی و اضافه جریان پشتیبان است.

تابع هدف همانند مرجع [۱۴] مساله هماهنگی بهینه با وارد کردن قیود هماهنگی در تابع هدف، با مجموع روابط (۵) و (۶) به صورت رابطه (۷) فرمول‌بندی می‌شود.

$$OF_{oc-oc} = (m_1 + 1)^{Y_1} \times \left(\alpha \sum_{i=1}^N t_i + \beta_1 \sum_{k_1=1}^{P_1} |\Delta t_{mbOC|F_1}| + \beta_2 \sum_{k_1=1}^{P_1} |\Delta t_{mbOC|F_2}| \right) \quad (۵)$$

$$OF_{oc-dis} = (m_2 + 1)^{Y_2} \times \left(\beta_3 \sum_{k_2=1}^{P_2} |\Delta t_{mbOCDis|F_3}| + \beta_4 \sum_{k_2=1}^{P_2} |\Delta t_{mbOCDis|F_4}| \right) \quad (۶)$$

$$OF_{dis-oc} = \beta_5 \sum_{k_3=1}^{P_3} |\Delta t_{mbDisOC|F_4}| \quad (۷)$$

دیستانس و اضافه جریان با در نظر گرفتن حفاظت پایلوت انجام شده است. با توجه به ویژگی حفاظت پایلوت، خطاهایی که انتهای خط اصلی و ناحیه دوم رله دیستانس اصلی رخ می‌دهند با تاخیر زمانی خیلی کمی توسط رله دیستانس برطرف می‌شود. بنابراین در این مرجع قیود هماهنگی برای رله‌های دیستانس اصلی و اضافه جریان پشتیبان به ازای خطا در انتهای خط منظور شده است. این نحوه هماهنگی برخلاف مراجع گذشته می‌باشد که در آنها قیود هماهنگی به ازای خطا در انتهای ناحیه اول رله دیستانس منظور کرده‌اند. در ادامه ساختار مقاله به این شرح است. در قسمت دوم به بیان مواد و روش‌ها و در قسمت سوم تعریف تابع هدف مساله بهینه‌سازی برای هماهنگی رله‌ها پرداخته می‌شود. در قسمت چهارم قیود و الگوریتم ارائه خواهد شد. در قسمت بعد به شبیه‌سازی شبکه تست پرداخته می‌شود و نتایج شبیه‌سازی تجزیه و تحلیل خواهد شد. در قسمت هشتم نتیجه‌گیری مقاله آمده است.

۲- مواد و روش‌ها

روش پیشنهادی برای هماهنگی رله‌های دیستانس و اضافه جریان عبارت است از:

۱- اولین گام برای هماهنگی رله‌ها، تعیین جفت رله‌های اصلی و پشتیبان است. با توجه به پیچیدگی شبکه‌های بهم پیوسته بزرگ تعیین جفت رله‌های اصلی و پشتیبان به صورت دستی کاری زمانبر است و احتمال خطا با افزایش خطوط و رله‌ها افزایش می‌یابد. برای تعیین جفت رله‌ها، ابتدا المان‌های شبکه ساده‌سازی می‌شوند و ساختار هندسی شبکه با یک گراف مدل می‌شود که در این گراف، خطوط شبکه با شاخه‌های جهت‌دار و باس‌های شبکه با گره‌ها مدل می‌شوند [۱۱].

۲- هماهنگی رله‌های دیستانس: در روش پیشنهادی برای تنظیم رله‌های دیستانس از روش و نتایج ارائه شده در مرجع [۱۲] استفاده شده است. روشی که این مرجع برای تنظیم رله‌های دیستانس در شبکه‌های بهم پیوسته ارائه شده است، با در نظر گرفتن عدم قطعیت در ساختار شبکه (ورود و خروج خطوط) و عدم قطعیت در بهره‌برداری (ورود و خروج منابع) انجام شده است. همچنین در هنگام محاسبات خطا و تعیین امپدانس‌ها فرض شده است که رله انتهای خط مدار انتقال توان را از سمت خود قطع می‌کند. زمان عملکرد نواحی اول، دوم و سوم همه رله‌های دیستانس موجود شبکه نمونه با مقادیر معمولی و ثابت به ترتیب ۰/۱، ۰/۳ و ۰/۶ ثانیه تنظیم شده است.

جریان‌های پیکاپ و ویژگی‌های رله، ژن‌های کروموزوم‌ها هستند. در این مقاله، GA، TSMها را در محدوده ۰.۰۵-۲ انتخاب می‌کند و همچنین ویژگی‌های رله را با انتخاب بهترین M ، α و L از جدول ۱ انتخاب می‌کند و جریان‌های پیکاپ با انتخاب بهترین I_{pf-s} در محدوده ۱/۲-۱/۳ انتخاب می‌شوند. ساختار کروموزومی در شکل ۱ نشان داده شده است.

در این ساختار شکل (۱)، دسته‌های $TSM_1, TSM_2, \dots, TSM_n$ و $CHAR_1, CHAR_2, \dots, CHAR_n$ و $I_{b1}, I_{b2}, \dots, I_{bn}$ به ترتیب تنظیم زمانی، مشخصه مربوط و جریان پیکاپ رله‌های R_1, R_2, \dots, R_n هستند. اکنون OF با استفاده از الگوریتم بهینه‌سازی آماده بهینه‌سازی است. برای رله‌های اضافه جریان جهت‌دار، زمان عملکرد را می‌توان با معادله زیر محاسبه کرد:

$$t = TSM \left(\frac{K}{M^\alpha - 1} + L \right) \quad (10)$$

که K ، α و L به ویژگی رله بستگی دارد که در جدول ۱ نشان داده شده است، و M نسبت جریان اتصال کوتاه I_{sc} به جریان پیکاپ I_{pickup} رله اضافه جریان جهت‌دار است.

$$M = \frac{I_{sc}}{I_{pickup}} \quad (11)$$

I_{pickup} را می‌توان از طریق معادله زیر بدست آورد:

$$I_{pickup} = I_{pf} \times I_n \quad (12)$$

I_n جریان نامی است و I_{pf} فاکتور جریان پیکاپ است.

در روابط فوق $\alpha, \beta_1, \beta_2, \beta_3, \beta_4, \beta_5$ ضرایب وزنی تابع هدف، $m1$ تعداد منفی $\Delta t_{mboc|F_i|}$ و فاکتور تقویت برای تعداد ناهماهنگی‌ها در این نوع حفاظت است. $m2$ عدد منفی $\Delta t_{mboCDis}$ است و فاکتور تقویت برای تعداد این ناهماهنگی‌ها در این نوع حفاظت است. t_i زمان عملکرد رله اصلی i ام به ازای خطا در نقطه F_2 است.

$$\Delta t_{mb}(F_i, k) = t_b(F_i, k) - t_m(F_i, k) - CTI \quad (8)$$

$$\Delta t_{mbDISDOC}(F_4, k) = t_b(F_4, k) - t_{z2} - CTI' \quad (9)$$

در روابط فوق $t_b(F_i, k)$ و $t_m(F_i, k)$ به ترتیب زمان عملکرد رله اصلی و پشتیبان جفت رله k ام به ازای خطای سه فاز متقارن در نقاط بحرانی $F_i (i = 1, 2, 3, 4)$ و t_{z2} زمان عملکرد ناحیه دوم رله دیستانس که در روش پیشنهادی ثابت و برابر 0.3 ثانیه تنظیم شده است.

۴- اعمال الگوریتم GA به مساله هماهنگی رله

در این بخش، برای درک بهتر نتایج، استفاده از GA برای مساله هماهنگی رله ارائه شده است. GA با تولید منحصر به فرد تصادفی شروع می‌شود، که جمعیت اولیه را تشکیل می‌دهند. هر فرد با کروموزوم ارتباط دارد و متغیرها، ژن‌های این کروموزوم‌ها هستند. در مساله هماهنگی رله‌های اضافه جریان جهت‌دار، TSMها،

جدول (۱): مشخصات رله‌های اضافه جریان جهت‌دار [15].

| شماره مشخصه | نوع مشخصه | استاندارد | K فاکتور | α فاکتور | L فاکتور |
|-------------|-----------------------|-----------|----------|-----------------|----------|
| 1 | معکوس زمان کوتاه | AREVA | 0.05 | 0.04 | 0 |
| 2 | معکوس استاندارد | IEC | 0.14 | 0.02 | 0 |
| 3 | خیلی معکوس فوق العاده | IEC | 13.5 | 1 | 0 |
| 4 | معکوس معکوس | IEC | 80 | 2 | 0 |
| 5 | طولانی مدت | AREVA | 120 | 1 | 0 |
| 6 | نسبتاً معکوس | ANSI/IEEE | 0.0515 | 0.02 | 0.114 |
| 7 | خیلی معکوس فوق العاده | ANSI/IEEE | 19.61 | 2 | 0.491 |
| 8 | معکوس | ANSI/IEEE | 28.2 | 2 | 0.1217 |

| R_1 | | | R_2 | | | | | | R_n | | |
|------------------|-----------------|-------------------|------------------|-----------------|-------------------|-------|------|-------|------------------|----------------------------|-------------------|
| TSM ₁ | I _{b1} | CHAR ₁ | TSM ₂ | I _{b2} | CHAR ₂ | | | | TSM _n | I _{b_n} | CHAR _n |

شکل (۱): ساختار کروموزوم

$$PCI = -\frac{\Delta P}{\Delta CTI} \quad (17)$$

واحد PCI با توجه به رابطه فوق MVA/ds یا $MVA/(0.1s)$ خواهد بود. PCI به صورتی تعریف می‌شود که یک مقدار مثبت، کاهش در CTI را در نتیجه افزایش ظرفیت تزریق نشان می‌دهد. مقدار بالای PCI در یک باس مشخص نشان دهنده این است که سطح بالایی از تزریق ظرفیت با کمترین تاثیر روی هماهنگی حفاظتی (به عبارت دیگر با تغییر کوچک در CTI) بدست می‌آید. PCI می‌تواند به عنوان شاخص موثر برای بدست آوردن بهترین مکان کاندید برای نصب DG با مالکیت شبکه و ارزیابی تاثیر نصب DG با مالکیت شخصی (مصرف کننده) با در نظر گرفتن سیستم حفاظت به کار رود [16].

۶- طراحی برنامه واسط نرم‌افزارهای MATLAB و DIGSILENT با استفاده از زبان برنامه‌نویسی DPL

در این پژوهش یک برنامه واسط بین نرم‌افزارهای DIGSILENT و MATLAB طراحی گردیده است که توسط آن قابلیت تبادل اطلاعات به صورت خودکار بین این دو نرم‌افزار امکان‌پذیر گردیده است. هر دو نرم‌افزار به صورت موازی در حالت اجرا بوده و با استفاده از این برنامه واسط از خروجی محاسبات هر نرم‌افزار به عنوان ورودی‌های محیط دیگر استفاده می‌شود. مهمترین بخش روش پیشنهادی نحوه هماهنگ شدن دو نرم‌افزار است. عملکرد دو نرم‌افزار برای حل مساله ماکزیمم ظرفیت تزریق به این گونه است که نرم‌افزار MATLAB با در نظر گرفتن مقدار CTI و CTI' مشخص (CTI=CTI')، یک موقعیت و ظرفیت برای DG تعیین کرده و آن را در فضای داده مشترک قرار داده و با تغییر مقدار flag توسط این نرم‌افزار، نرم‌افزار DIGSILENT وارد مود عملکردی خود شده و موقعیت و مقدار ظرفیت DG را از فضای داده مشترک برداشته و یک منبع در آن موقعیت با مقدار ظرفیت ورودی وارد شبکه مورد مطالعه می‌کند و سپس محاسبات اتصال کوتاه را برای همه جفت رله‌های اصلی و پشتیبان انجام داده و نتایج را در قالب یک ماتریس در فضای داده مشترک قرار می‌دهد. حال با تغییر دوباره flag نرم‌افزار MATLAB وارد مود عملکردی شده و ماتریس جریان‌های اتصال کوتاه از فضای داده مشترک برداشته و با استفاده از این داده‌ها و تنظیمات رله‌های دیستانس و اضافه جریان که از قبل به این نرم‌افزار داده شده است زمان عملکرد رله‌های اصلی و پشتیبان را محاسبه می‌کند. سپس محدودیت‌های هماهنگی را مورد بررسی قرار می‌دهد اگر تخطی از محدودیت‌ها وجود نداشته باشد با یک پله مشخص به ظرفیت قبلی اضافه می‌کند و در فضای داده مشترک قرار می‌دهد. مراحل فوق برای ظرفیت

۵- فرمول‌بندی مساله ماکزیمم ظرفیت تزریقی مجاز DG

در مرحله دوم تنظیمات رله‌های دیستانس و اضافه جریان به عنوان پارامترهای ثابت با مقادیر محاسبه شده در مرحله اول، مورد استفاده قرار می‌گیرد. در مرحله دوم تابع هدف برای حداکثر کردن تزریق ظرفیت به صورت زیر تعریف می‌شود:

$$\text{Maximize } P = \sum_{k=1}^L S_{DGk} \quad (13)$$

در رابطه فوق S_{DGk} ظرفیت نامی DG متصل به باس k و L تعداد واحدهای DG است.

با توجه به اینکه هدف یافتن حداکثر ظرفیت تزریقی با کمترین تاثیر روی حفاظت است بنابراین قیود هماهنگی تعریف شده در روش پیشنهادی هماهنگی رله‌های دیستانس و اضافه جریان به عنوان قیود این مساله تعیین می‌شوند.

مهمترین تفاوتی که مرحله دوم با مرحله اول دارد روش محاسبات اتصال کوتاه است. در مرحله اول که هیچ واحد تولید پراکنده در شبکه نیست جریان‌های اتصال کوتاه عبوری از جفت رله‌های اصلی و پشتیبان محاسبه شده و به عنوان پارامترهای ورودی برای محاسبه زمان عملکرد رله‌ها استفاده می‌شود. در حالی که در مرحله دوم جریان‌های اتصال کوتاه بسته به مکان و ظرفیت DG تغییر می‌کند. قرار دادن یک واحد DG در مکان مشخص، ماتریس ادمیتانس شبکه را تحت تاثیر قرار می‌دهد که موجب تغییر ماتریس امپدانس و مقادیر جریان اتصال کوتاه خواهد بود. بنابراین جریان اتصال کوتاه در رابطه زمان عملکرد رله تابعی از ظرفیت DG و در نتیجه زمان عملکرد رله‌های اضافه جریان نیز تابعی از ظرفیت DG خواهد بود.

$$t_{relay} = TSM \left(\frac{k}{M^{\alpha}} + L \right), \quad M = \frac{I_{sc}}{I_{pi}} \quad (14)$$

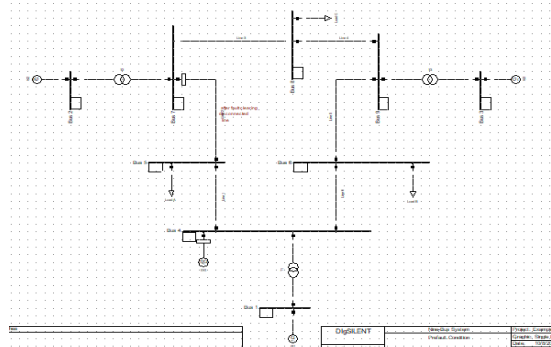
$$\begin{cases} t_{relay} = h(I_{sc}) \\ I_{sc} = f(S_{DGk}) \end{cases} \rightarrow t_{relay} = g(S_{DGk}) \quad (15)$$

علاوه بر این محدودیت ظرفیت DG که می‌تواند در هر باس نصب شود به صورت زیر است:

$$0 \leq S_{DGk} \leq S_{DGk-max}, \forall k \quad (16)$$

$S_{DGk-max}$ در قید فوق، کران بالای ظرفیت DG که می‌تواند در هر باس نصب شود، می‌باشد که در روش پیشنهادی برای DG های متصل به باس‌های فوق توزیع این مقدار برابر ۱۰۰ MVA قرار داده شده است. مقدار $S_{DGk-max}$ به اولویت طراحی برنامه ریز شبکه بستگی دارد. سطح تزریق DG در رابطه (۱۰) برای مقادیر مختلف CTI و CTI' (در این پژوهش برای همه حالت‌ها، $CTI' = CTI$ فرض شده است) محاسبه می‌شود و نسبت تغییرات $(\Delta P)P$ به تغییرات $(\Delta CTI)CTI$ محاسبه شده و شاخص هماهنگی حفاظتی برای هر شین به صورت زیر تعریف می‌شود:

روش پیشنهادی هماهنگی رله‌های دیستانس و اضافه جریان گفته شد، فرض می‌شود در دو سر هر خط یک رله دیستانس به همراه یک رله اضافه جریان جهتی نصب شده است.



شکل (۲): شبکه نمونه ۹ باسه

۷-۱-۱- نتایج اتصال کوتاه

جریان‌های اتصال کوتاه سه فاز متقارن عبوری از جفت رله‌های اصلی و پشتیبان را به ازای خطا در نقاط بحرانی در جدول ۲ قابل مشاهده است. در این جدول I_{scb} و I_{scm} به ترتیب جریان اتصال کوتاه عبوری از رله‌های اصلی و پشتیبان به ازای خطا در محل‌های اشاره شده هستند. جریان‌های خطای سیستم در حضور DG همان طور که در جدول ۲ نشان داده شده است، تغییر می‌کند. بنابراین، ما با یک ساختار سیستم جدید برای حفاظت مواجه هستیم. برای توضیح دادن یک راه ساده برای غلبه بر مساله حفاظت از سیستم با استفاده از DG، جریان‌های خطای این سیستم جدید باید محاسبه شود و مورد استفاده قرار گیرد.

۷- شبیه‌سازی روش پیشنهادی

۷-۱- سیستم ۹ شینه

برای پیاده‌سازی روش پیشنهادی از شبکه نمونه ۹ شینه ارائه شده در شکل ۲ استفاده شده است. که شامل شش خط، سه ترانسفورماتور و سه ژنراتور است، در شین ۴ (یکی از شین‌های کاندید) DG قرار دارد و اطلاعات خطوط شبکه در پیوست آورده شده است. همانطور که در

جدول (۲): جریان اتصال کوتاه عبوری از رله‌های اصلی و پشتیبان به ازای خطا در نقاط بحرانی

| ردیف | شینه | نقطه خطا | خطا در نقطه F1 (جلوی رله اصلی) | | خطا در نقطه F2 (انتهای محدوده حفاظتی المان عنصر سریع) | | خطا در نقطه F3 (انتهای خط اصلی) | | خطا در نقطه F4 (انتهای ناحیه اول رله دیستانس) | |
|------|------|----------|--------------------------------|-----------|---|-----------|---------------------------------|-----------|---|-----------|
| | | | Iscm (kA) | Iscb (kA) | Iscm (kA) | Iscb (kA) | Iscm (kA) | Iscb (kA) | Iscm (kA) | Iscb (kA) |
| ۱ | ۱ | 11 | 2.263 | 0.691 | 1.541 | 0.439 | 1.357 | 0.378 | 1.441 | 0.405 |
| ۲ | ۲ | 4 | 1.048 | 1.037 | 0.8305 | 0.832 | 0.756 | 0.763 | 0.791 | 0.796 |
| ۳ | ۳ | 1 | 1.358 | 1.3508 | 0.939 | 0.956 | 0.823 | 0.847 | 0.876 | 0.898 |
| ۴ | ۴ | 6 | 1.866 | 0.662 | 1.204 | 0.382 | 1.042 | 0.311 | 1.115 | 0.344 |
| ۵ | ۵ | 3 | 2.013 | 0.818 | 0.985 | 0.328 | 0.794 | 0.224 | 0.879 | 0.272 |
| ۶ | ۶ | 8 | 1.526 | 1.515 | 0.821 | 0.852 | 0.667 | 0.708 | 0.738 | 0.774 |
| ۷ | ۷ | 5 | 0.813 | 0.788 | 0.622 | 0.608 | 0.546 | 0.536 | 0.584 | 0.572 |
| ۸ | ۸ | 10 | 3.598 | 0.597 | 1.843 | 0.184 | 1.526 | 0.104 | 1.665 | 0.1404 |
| ۹ | ۹ | 7 | 3.545 | 0.543 | 1.918 | 0.202 | 1.604 | 0.131 | 1.742 | 0.163 |
| ۱۰ | ۱۰ | 12 | 0.897 | 0.875 | 0.682 | 0.681 | 0.601 | 0.606 | 0.604 | 0.643 |
| ۱۱ | ۱۱ | 9 | 1.605 | 1.593 | 0.86 | 0.917 | 0.697 | 0.769 | 0.771 | 0.837 |
| ۱۲ | ۱۲ | 2 | 2.322 | 0.753 | 1.097 | 0.299 | 0.881 | 0.219 | 0.977 | 0.255 |

۷-۱-۲- جریان اسمی

بهینه I_{pf} و ویژگی‌های رله، انتخاب شده توسط GA، ارائه شده است. مقدار I_{pf} ها پیوسته هستند و از ۱/۲ تا ۱/۳ تغییر می‌کنند و ویژگی‌های رله‌ها با استفاده از جدول ۱ انتخاب شده است.

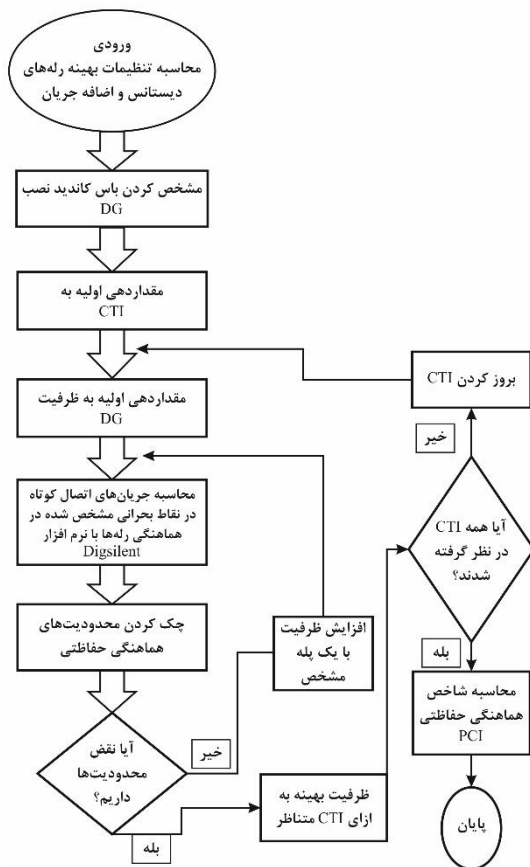
جریان‌های اسمی برای رله‌های تست سیستم ۹ شینه در جدول ۳ آورده شده است که با استفاده از نرم‌افزار DIGSILENT محاسبه شده است.

جدول (۳): جریان تنظیم و جریان بار رله های اضافه جریان

| شماره رله | جریان اسمی (A) | شماره رله | جریان اسمی (A) |
|-----------|----------------|-----------|----------------|
| 1 | 186.904 | 7 | 86.194 |
| 2 | 189.395 | 8 | 75.165 |
| 3 | 84.544 | 9 | 114.854 |
| 4 | 59.290 | 10 | 141.682 |
| 5 | 154.336 | 11 | 214.410 |
| 6 | 151.027 | 12 | 212.982 |

۷-۱-۳- نتایج الگوریتم بهینه سازی

قبل از اجرای الگوریتم و بدست آوردن پاسخ بهینه در ابتدا باید ضرایب وزنی مناسبی برای تابع هدف ارائه شده، تعیین کرد. مقادیر بهینه ضرایب وزنی تابع هدف در روابط فوق α ، β_1 ، β_2 ، γ و m_1 به ترتیب برابر ۱، ۲، ۲، ۰/۲ و ۵ تعیین شده است. برای مساله بهینه پارامترهای دیگری نیاز به تنظیم مناسب دارند که پارامترهای خود الگوریتم GA شامل تعداد جمعیت (۱۰۰)، تعداد ماکزیمم تولید (۴۰۰۰) است. الگوریتم برای مساله پیشنهادی به دفعات اجرا و بهترین جواب از بین جواب‌ها برای مساله تعیین گردیده است. شکل ۳ فلوجارت شاخص هماهنگی حفاظتی را نشان می‌دهد.



شکل (۳): فلوجارت شاخص هماهنگی حفاظتی

هدف دیگر در مساله هماهنگی بهینه عدم تداخل در عملکرد رله‌های اصلی و پشتیبان با داشتن حداقل فاصله زمانی بین این دو رله است. در تعریف مساله هماهنگی عنوان شد دو رله اصلی و پشتیبان در صورتی با هم هماهنگ خواهند بود که قیود هماهنگی در نقاط بحرانی برای این دو رله ارضا شده باشند. با توجه به اختلاف زمانی تعریف شده در مساله برای ۴ نقطه بحرانی هماهنگی یا عدم هماهنگی جفت رله‌های اصلی و پشتیبان را می‌توان با محاسبه Δt_{mb} و $\Delta t_{mbDISDOC}$ تعیین کرد.

جدول ۵ نتایج حاصل از مساله هماهنگی با استفاده از مشخصه‌های مختلف برای تنظیم رله‌های اضافه جریان در هماهنگی این رله‌ها با رله‌های دیستانس ارائه شده است. هدف از این کار بررسی تاثیر استفاده از مشخصه‌های مختلف، جریان پیکاپ و ضریب تنظیم زمانی برای تنظیم رله‌های اضافه جریان در روش پیشنهادی است. بنابراین نتایج ارائه شده در جدول ۵ تاثیر مثبت استفاده از مشخصه‌های مختلف، جریان پیکاپ و ضریب تنظیم زمانی برای تنظیم رله‌های اضافه جریان را در هماهنگی با رله‌های دیستانس نشان می‌دهد.

جدول (۴): تنظیمات رله‌های اضافه جریان تست سیستم ۹ شینه

| شماره رله | TSM | I_{pf} | CHAR |
|-----------|------|----------|------|
| ۱ | 0.18 | 1.21 | 4 |
| ۲ | 0.05 | 1.25 | 1 |
| ۳ | 0.46 | 1.25 | 1 |
| ۴ | 0.82 | 1.2 | 4 |
| ۵ | 0.11 | 1.21 | 4 |
| ۶ | 0.05 | 1.2 | 3 |
| ۷ | 0.49 | 1.26 | 1 |
| ۸ | 0.87 | 1.24 | 8 |
| ۹ | 0.77 | 1.22 | 8 |
| ۱۰ | 0.09 | 1.2 | 8 |
| ۱۱ | 0.23 | 1.2 | 1 |
| ۱۲ | 0.07 | 1.2 | 8 |

در این روش مقدار CTI از ۰/۲ تا ۰/۲۵ تغییر می‌کند که مقدار CTI هر ۰/۰۱ افزایش می‌یابد. در جدول ۴، TSMهای

جدول (۵): اختلاف زمانی عملکرد جفت رله‌های اصلی و پشتیبان

| اصلی | پشتیبان | Tmb(F1) (DOC-DOC) | Tmb(F2) (DOC-Dis) | Tmb(F4) (Dis-DOC) |
|------|---------|----------------------|----------------------|----------------------|
| 1 | 11 | 0.1468467 | 0.247511 | 0.6614493 |
| 2 | 4 | 0.2752034 | 0.4458630 | 0.5220283 |
| 3 | 1 | 0.2081511 | 0.6194295 | 0.9793296 |
| 4 | 6 | 0.1675800 | 0.4185120 | 0.7985187 |
| 5 | 3 | 0.1934972 | 0.1718733 | 0.5853412 |
| 6 | 8 | 0.1119151 | 0.2221796 | 0.4683964 |
| 7 | 5 | 0.233209 | 0.5789017 | 1.0292585 |
| 8 | 10 | 0.1073629 | 5.3016599 | 1.4363148 |
| 9 | 7 | 0.2329240 | 0.6291429 | 1.1610052 |
| 10 | 12 | 0.0877334 | 0.1537347 | 0.3582494 |
| 11 | 9 | 0.1235572 | 0.4069013 | 0.7390342 |
| 12 | 2 | 0.0200985 | 0.1560613 | 1.0206607 |

PCI همان باس خواهد بود. در جدول ۶، PCI مربوط به باس‌های کاندید آورده شده است.

جدول (۶): شاخص‌های هماهنگی شین‌های کاندید

| | شین ۸ | شین ۴ |
|-----------------|-------|-------|
| PCI (MNA/ds) | ۱۴۶۰ | ۹۰۰ |

نتایج جدول ۶ نشان می‌دهد شین ۸ بیشترین و شین ۴ کمترین مقدار شاخص هماهنگی را دارا هستند. بنابراین شین ۸ بهترین مکان برای نصب DG است که کمترین تاثیر را روی حفاظت دارد. ولی همانطور که گفته شد ماکزیمم ظرفیتی که می‌توان از این شین به شبکه تزریق کرد بستگی به محدودیت‌های حفاظتی و حداقل CTI مجاز برای سیستم حفاظتی بستگی دارد.

۷-۲- سیستم ۳۹ شینه

به منظور نشان دادن کارایی روش پیشنهادی، این روش در سیستم ۳۹ شینه پیاده‌سازی شده است. سیستم ۳۹ شینه شامل ۳۴ خط، ۱۲ ترانسفورماتور و ۱۰ ژنراتور است که در شکل ۴ نشان داده شده است. در شین‌های ۶ و ۸ (شین‌های کاندید) DG قرار می‌دهیم و اطلاعات خطوط شبکه در پیوست آورده شده است. جریان‌های اتصال کوتاه و نامی عبوری از طریق رله‌ها برای تست سیستم ۳۹ شینه با استفاده از نرم‌افزار DIGSILENT حاصل شد. به دلیل میزان بالای دیتا آن‌ها در نظر گرفته نشده‌اند.

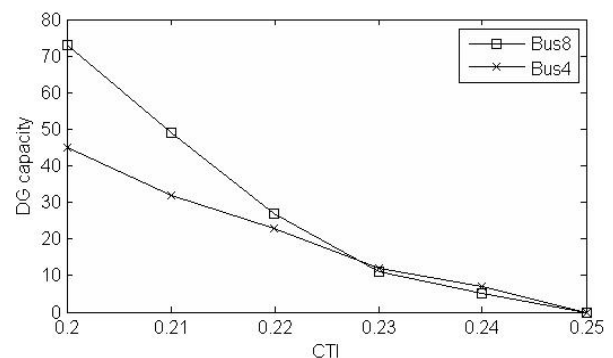
خلاصه‌ای از زمان تمایز بین جفت رله‌های اصلی و پشتیبان (مثلاً تعداد ۱۰ تا جفت رله) برای موارد مختلف حاصل از GA در جدول ۷ آورده شده است. همان‌طور که در جدول ۷ آمده است بررسی همزمان TSM، فاکتور جریان پیکاپ، و مشخصه رله‌های اضافه جریان به عنوان

جدول (۷): خلاصه اختلاف زمانی عملکرد جفت رله‌های اصلی و پشتیبان

۴-۱-۷- نتایج مربوط به شاخص هماهنگی حفاظتی

در این بخش برای پیاده‌سازی روش ارائه شده از شبکه نمونه ۹ شینه استفاده شده است. باس‌های کاندید برای نصب تولید پراکنده در این شبکه شین‌های ۴ و ۸ انتخاب شده و شاخص هماهنگی برای این باس‌ها محاسبه می‌شود.

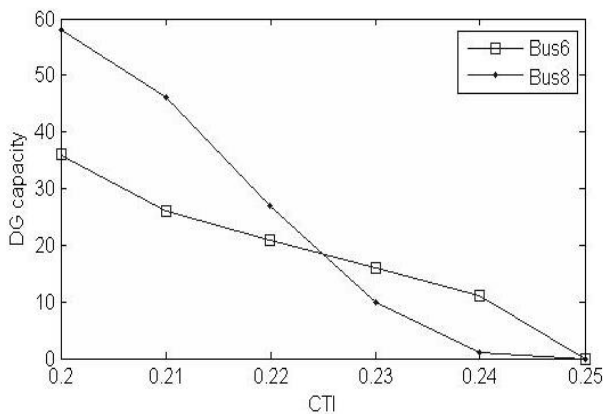
مرحله اول محاسبه شاخص هماهنگی که شامل هماهنگی رله‌های دیستانس و اضافه جریان و تعیین تنظیمات بهینه این رله‌ها می‌باشد. نتایج نشان می‌دهد با کاهش فاصله زمانی مجاز بین رله‌های اصلی و پشتیبان ماکزیمم ظرفیتی که می‌توان از هر باس تزریق کرد، افزایش می‌یابد. در شکل ۳ منحنی تغییرات ظرفیت تزریقی مجاز بر حسب CTI بیان شده است.



شکل (۳): تغییرات ظرفیت تزریقی نسبت به CTI

با توجه به اینکه شاخص هماهنگی حفاظتی برای هر باس نسبت تغییرات ماکزیمم ظرفیت تزریقی مجاز در آن باس به تغییرات CTI تعریف شد بنابراین قرینه متوسط شیب منحنی مربوط به هر باس در نمودار شکل ۳ برابر شاخص هماهنگی یا

| اصلی | پشتیبان | Tmb(F1)(DOC-DOC) | Tmb(F2)(DOC-Dis) | Tmb(F4)(Dis-DOC) |
|------|---------|------------------|------------------|------------------|
| 5 | 1 | 0.0432 | 0.0163 | 0.0674 |
| 7 | 1 | 0.0347 | 0.0153 | 0.0411 |
| 30 | 3 | 0.0237 | 0.2025 | 0.0824 |
| 9 | 5 | 0.0919 | 0.2328 | 0.1419 |
| 11 | 5 | 0.0590 | 0.0875 | 0.1217 |
| 59 | 7 | 0.0355 | 0.0166 | 0.0977 |
| 13 | 9 | 0.4499 | 0.6480 | 0.6997 |
| 15 | 9 | 0.4661 | 0.6936 | 0.7394 |
| 50 | 11 | 0.0298 | 0.0472 | 0.0314 |
| 17 | 13 | 0.0332 | 0.0377 | 0.0201 |



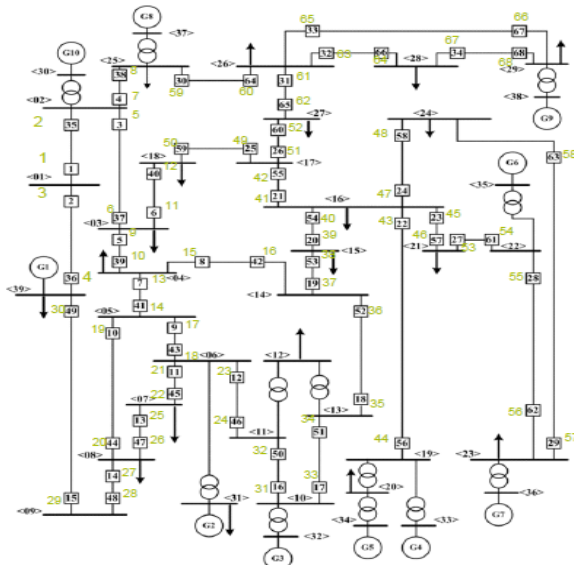
شکل (۵): تغییرات ظرفیت تزریقی نسبت به CTI

۸- نتیجه گیری

هدف از انجام این تحقیق بررسی هماهنگی رله‌های دیستانس و اضافه جریان با استفاده از عملکرد آنی در شبکه های ۹ و ۳۹ شینه IEEE بود. نتایج بدست آمده به شرح زیر است:

با توجه به اینکه تعیین جفت رله اصلی و پشتیبان شبکه یکی از ملزومات اولیه هماهنگی رله‌ها است، روش جدیدی بر پایه تئوری گراف جهت تعیین این جفت رله‌ها پیشنهاد شد. در این روش با استفاده از ماتریس تلاقی خطوط و شین‌ها و همچنین مکان رله‌ها روی خطوط، با برنامه‌نویسی کامپیوتری می‌توان جفت رله‌های اصلی و پشتیبان هر شبکه به هم پیوسته را به آسانی و با صرف زمان کمتری نسبت به حالت دستی به دست آورد. به دلیل اینکه در سیستم‌های انتقال و فوق توزیع زمان رفع خطا از اهمیت خاصی برخوردار است، استفاده از رله‌های عملکرد آنی قابلیت اطمینان سیستم حفاظتی را در رفع آنی خطا افزایش می‌دهد. در روش پیشنهادی از ۸ مشخصه استاندارد مختلف رله‌های اضافه جریان جهت تنظیم این رله‌ها استفاده شد. نتایج بدست آمده سودمندی استفاده مشخصه‌های مختلف برای تنظیم رله‌های

متغیرهای بهینه‌سازی منجر به کوچک شدن زمان‌های تمایز شده و هم‌چنین نرخ عدم هماهنگی کاهش می‌یابد. بنابراین کارایی GA برای حل مسئله هماهنگی بهینه برای ترکیب رله‌های D و DOC در سیستم‌های قدرت عملی ثابت شده است. همان‌طور که در جدول ۷ نشان داده شده است به منظور حل مساله حفاظت ناشی از DG ها تاثیر مثبت استفاده از شاخص هماهنگی حفاظتی برای تنظیم رله‌های اضافه جریان در هماهنگی با رله‌های دیستانس را نشان می‌دهد.



شکل (۴): شبکه نمونه ۳۹ شینه

۱-۲-۷- نتایج مربوط به شاخص هماهنگی حفاظتی

در این بخش برای نشان دادن کارایی روش پیشنهادی مربوط به شاخص هماهنگی حفاظتی ارائه شده است. روش کار همانند تست سیستم ۹ شین است. در شکل ۵ منحنی تغییرات ظرفیت تزریق مجاز بر حسب CTI را نشان می‌دهد.

3. Zeineldin, Hatem H., et al. "A protection coordination index for evaluating distributed generation impacts on protection for meshed distribution systems", Smart Grid, IEEE Transactions on 4.3: 1523-1532, 2013.
4. coral Springs "Applied Protective Relaying", Westinghouse Electric Corporation, Relay Instruments Division, florida, 33065, (1982).
5. H. Askarian Abyaneh, "Application of expert system for coordination of O/C and E/F relay setting", PSC Conf.94, Russia, 1994.
6. Damchi, Y., et al. "Optimal coordination of distance and overcurrent relays considering a non-standard tripping characteristic for distance relays", IET Generation, Transmission & Distribution 10(6): 1448-1457, 2016.
7. E. Sorrentino, "Comparison of five methods of compensation for the ground distance function and assessment of their effect on the resistive reach in quadrilateral characteristics", International Journal of Electrical Power & Energy Systems, vol. 61, pp. 440-445, 2014.
8. Castillo, C. A., et al. "Mitigation of DOCR miscoordination through distance relays and non-standard overcurrent curves", Electric Power Systems Research 163: 242-251, 2018.
9. Chabanloo, R. M., et al. "Optimal Combined Overcurrent and Distance Relays Coordination Incorporating Intelligent Overcurrent Relays Characteristic Selection", IEEE Transactions on Power Delivery 26(3): 1381-1391, 2011.
10. Damchi, Yaser, Javad Sadeh, and Habib Rajabi Mashhadi. "Preprocessing of distance and directional overcurrent relays coordination problem considering changes in network topology", International Transactions on Electrical Energy Systems, 2015.
11. Sadeh, Javad, and Habib Rajabi Mashhadi. "Considering Pilot Protection in the Optimal Coordination of Distance and Directional Overcurrent Relays", Iranian Journal of Electrical and Electronic Engineering 20, 2015.
12. Braga, A. S., and João Tomé Saraiva. "Coordination of overcurrent directional relays in meshed networks using the Simplex method", Electrotechnical Conference, 1996. MELECON'96., 8th Mediterranean. Vol. 3. IEEE, 1996.
13. Chabanloo, R. M., et al. "Optimal Combined Overcurrent and Distance Relays Coordination Incorporating Intelligent Overcurrent Relays Characteristic Selection", IEEE Transactions on Power Delivery 26(3): 1381-1391, 2011.

اضافه جریان را در کاهش زمان عملکرد این رله‌ها به ازای خطا در نقاط بحرانی و همچنین کاهش فاصله زمانی عملکرد جفت رله‌های اصلی و پشتیبان در مقایسه با حالتی که رله‌های اضافه جریان با یک مشخصه تنظیم شده‌اند را نشان می‌دهد. علیرغم اینکه بیشتر مراجع زمان عملکرد ناحیه دوم رله‌های دیستانس را به عنوان متغیر مساله تعریف کرده و با توجه به قیود هماهنگی و CTI در نظر گرفته شده مقادیر بزرگی برای زمان عملکرد در این ناحیه بدست آورده‌اند، در روش پیشنهادی به دلیل استفاده از رله عملکرد آنی به جای رله اضافه جریان با عملکرد تاخیری جهت حفاظت خط اصلی، یکی از قیود هماهنگی مربوط به هماهنگی رله‌های دیستانس و اضافه جریان حذف شده و موجب این می‌شود که با تنظیم زمان عملکرد ناحیه دوم رله‌های دیستانس با مقدار ثابت و معمولی $0/3$ ثانیه، پاسخ‌های قابل قبول و شدنی برای مساله هماهنگی بهینه رله‌های دیستانس بدست آید. برای حل مساله هماهنگی بهینه رله‌ها از الگوریتم بهینه‌سازی GA استفاده شد. در این پژوهش یک شاخص هماهنگی حفاظتی برای ارزیابی تاثیر نصب منابع تولید پراکنده روی هماهنگی رله‌های دیستانس و اضافه جریان جهتی ارائه شد و با توجه به نتایج به دست آمده برای شاخص هماهنگی حفاظتی برای باس‌های کاندید نصب DG در شبکه مورد مطالعه، باسی با بیشترین شاخص هماهنگی که کمترین تاثیر نصب تولید پراکنده را در این باس نشان می‌دهد به عنوان مناسب‌ترین باس برای نصب DG از دید سیستم حفاظت انتخاب شد.

در نهایت می‌توان گفت در این پژوهش هماهنگی رله‌های دیستانس و اضافه جریان با در نظر گرفتن توپولوژی غالب شبکه انجام شد. می‌توان روش ارائه شده را با در نظر گرفتن عدم قطعیت در ورود و خروج خطوط و منابع و توپولوژی‌های مختلف شبکه انجام داد. همچنین هماهنگی رله‌های دیستانس و اضافه جریان با در نظر گرفتن حفاظت پایلوت جهت افزایش قابلیت اطمینان سیستم حفاظتی پیشنهاد می‌شود

مراجع

1. Mahmoud, K., et al. "Optimal Distributed Generation Allocation in Distribution Systems for Loss Minimization", IEEE Transactions on Power Systems 31(2): 960-969, 2016.
2. Elyasibakhtiari, K. and E. Akhavan-Rezai. "Decentralized intelligent SCADA for intelligent controlling and DG integration in the electric distribution grid", CIRED 2012 Workshop: Integration of Renewables into the Distribution Grid, 2012.



مهديه اسلامي در کرمان متولد شده است. تحصیلات دانشگاهی خود را در مقطع کارشناسی مهندسی برق از دانشگاه شهید باهنر کرمان، کارشناسی ارشد مهندسی برق- قدرت از دانشگاه علم و صنعت، دکتری از دانشگاه مالزی. در حال حاضر عضو هیات علمی گروه برق دانشگاه آزاد اسلامی واحد کرمان، فعالیت‌های پژوهشی و علاقه مندی در زمینه حفاظت و کنترل سیستم- های قدرت است

پیوست‌ها:

اطلاعات پارامترهای تست سیستم‌های ۹ و ۳۹ شینه در جدول‌های ۸ و ۹ آورده شده است.

جدول (۸): اطلاعات خطوط ۹ شینه

| From Bus | To Bus | R (Ω) | X (Ω) |
|----------|--------|----------------|----------------|
| 1 | 4 | 0 | 0.0576 |
| 2 | 7 | 0 | 0.0625 |
| 3 | 9 | 0 | 0.0586 |
| 4 | 5 | 0.0101 | 0.085 |
| 5 | 7 | 0.032 | 0.161 |
| 6 | 4 | 0.017 | 0.092 |
| 7 | 8 | 0.0085 | 0.072 |
| 8 | 9 | 0.0119 | 0.1004 |
| 9 | 6 | 0.039 | 0.170 |

جدول (۹): اطلاعات خطوط ۳۹ شینه

| From Bus | To Bus | R (Ω) | X (Ω) |
|----------|--------|----------------|----------------|
| 1 | 2 | 0.0035 | 0.0411 |
| 1 | 39 | 0.001 | 0.025 |
| 2 | 3 | 0.0013 | 0.0151 |
| 2 | 25 | 0.007 | 0.0086 |
| 3 | 4 | 0.0013 | 0.0213 |
| 3 | 18 | 0.0011 | 0.0133 |
| 4 | 5 | 0.0008 | 0.0128 |
| 4 | 14 | 0.0008 | 0.0129 |
| 5 | 6 | 0.0002 | 0.0026 |
| 5 | 8 | 0.0008 | 0.0112 |
| 6 | 7 | 0.0006 | 0.0092 |
| 6 | 11 | 0.0007 | 0.0082 |
| 7 | 8 | 0.0004 | 0.0046 |
| 8 | 9 | 0.0023 | 0.0363 |
| 9 | 39 | 0.001 | 0.025 |
| 10 | 11 | 0.0004 | 0.0043 |
| 10 | 13 | 0.0004 | 0.0043 |
| 13 | 14 | 0.0009 | 0.0101 |
| 14 | 15 | 0.0018 | 0.0217 |
| 15 | 16 | 0.0009 | 0.0094 |
| 16 | 17 | 0.0007 | 0.0089 |
| 16 | 19 | 0.0016 | 0.0195 |
| 16 | 21 | 0.0008 | 0.0135 |
| 16 | 24 | 0.0003 | 0.0059 |
| 17 | 18 | 0.0007 | 0.0082 |
| 17 | 27 | 0.0013 | 0.0173 |
| 21 | 22 | 0.0008 | 0.014 |
| 22 | 23 | 0.0006 | 0.0096 |
| 23 | 24 | 0.0022 | 0.035 |

14. Moravej, Z. and O. Soleimani Ooreh. "Coordination of distance and directional overcurrent relays using a new algorithm: grey wolf optimizer", Turkish Journal of Electrical Engineering & Computer Sciences 26(6): 3131-3145, 2018.
15. Ahmadi, S.-A., et al. "Comprehensive coordination of combined directional overcurrent and distance relays considering miscoordination reduction", International Journal of Electrical Power & Energy Systems 92: 42-52, 2017.
16. Ahmadi, S. A., et al. "Application of hyper-spherical search algorithm for optimal coordination of overcurrent relays considering different relay characteristics", International Journal of Electrical Power & Energy Systems 83: 443-449, 2016.
17. Zeineldin, Hatem H., et al. "A protection coordination index for evaluating distributed generation impacts on protection for meshed distribution systems", Smart Grid, IEEE Transactions on 4.3, 1523-1532, 2013.

رزومه:



محمد رضا امینیان در کرمان متولد شده است (۱۳۶۹). تحصیلات دانشگاهی خود را در مقطع کارشناسی مهندسی برق_ الکترونیک از دانشگاه آزاد اسلامی واحد کرمان، کارشناسی ارشد مهندسی برق- قدرت از دانشگاه آزاد اسلامی علوم و تحقیقات، در حال حاضر دانشجوی دکتری برق دانشگاه آزاد اسلامی واحد کرمان، فعالیت‌های پژوهشی و علاقه‌مندی در زمینه حفاظت سیستم‌های قدرت است.



مهدي جعفری شهباززاده در کرمان متولد شده است. تحصیلات دانشگاهی خود را در مقطع کارشناسی مهندسی برق از دانشگاه شیراز، کارشناسی ارشد مهندسی برق از دانشگاه شیراز، دکتری از دانشگاه علوم و تحقیقات تهران. در حال حاضر عضو هیات علمی گروه برق دانشگاه آزاد اسلامی واحد کرمان، فعالیت‌های پژوهشی و علاقه‌مندی در زمینه حفاظت سیستم‌های قدرت است

| | | | |
|----|----|--------|--------|
| 25 | 26 | 0.0032 | 0.0323 |
| 26 | 27 | 0.0014 | 0.0147 |
| 26 | 28 | 0.0043 | 0.0474 |
| 26 | 29 | 0.0057 | 0.0625 |
| 28 | 29 | 0.0014 | 0.0151 |
| 12 | 11 | 0.0016 | 0.0435 |
| 12 | 13 | 0.0016 | 0.0435 |
| 6 | 31 | 0 | 0.025 |
| 10 | 32 | 0 | 0.02 |
| 19 | 33 | 0.0007 | 0.0142 |
| 20 | 34 | 0.0009 | 0.018 |
| 22 | 35 | 0 | 0.0143 |
| 23 | 36 | 0.0005 | 0.0272 |
| 25 | 37 | 0.0006 | 0.0232 |
| 2 | 30 | 0 | 0.0181 |
| 29 | 38 | 0.0008 | 0.0156 |
| 19 | 20 | 0.0007 | 0.0138 |

Coordination of distance relays and directional over current with optimal injection of DG capacity using smart method

Mohammadreza Aminian¹, Mehdi Jafari Shahbazzadeh^{2*}, Mahdiyeh Eslami³

1- Department of Electrical Engineering, Kerman Branch, Islamic Azad University, Kerman, Iran,
mraminian869@gmail.com

2- Department of Electrical Engineering, Kerman Branch, Islamic Azad University, Kerman, Iran,
m-j-shabazi@yahoo.com

3- Department of Electrical Engineering, Kerman Branch, Islamic Azad University, Kerman, Iran,
mahdiyeh_eslami@yahoo.com

Abstract:

One of the most applicable relays in protecting the power system is distance and overcurrent relays. In transmission and distribution networks, protection is usually performed by distance protection, and overcurrent protection is used as a backup for distance protection. In the present study, a new approach was provided to coordinate distance and overcurrent relays using pickup current, time adjustment coefficient, and overcurrent relay characteristics to delay these relays as backup for distance relays. It is possible to adjust the second zone of the distance relays' operating time with a fixed and normal value using instantaneous operation relays with changes in coordination constraints. In the proposed method, the coordination problem was solved using GA algorithm. A protection coordination index is then provided to evaluate distributed generation sources' impact on the protection coordination of distance and overcurrent relays. A new method was proposed to obtain the maximum injection capacity under coordination constraints using MATLAB and DIGSILENT software's parallel performance. The proposed method was implemented in IEEE 9 and 39 bus sample networks. Finally, the obtained results were compared and evaluated.

Keywords: Protection Coordination, Directional overcurrent relay, disperse production resources, protection coordination index